### 绝密★启用前

### 2019年普通高等学校招生全国统一考试

# 理科综合能力测试(北京卷)

本试卷共 16 页,共 300 分。考试时长 150 分钟。考试务必将答案答在答题卡上。在试卷上作答无效。考试结束后,将本试卷和答题卡一并交回。

可能用到的相对原子质量: H1 C12 N14 O16

## 第一部分(选择题共120分)

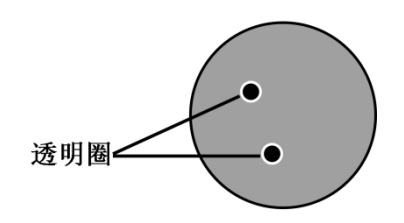
- 本部分共 20 小题,每小题 6 分,共 120 分,在每小题列出的四个选项中,选出最符合题目要求的一项。
- 1. 玉米根尖纵切片经碱性染料染色,用普通光学显微镜观察到的分生区图像如下。



对此图像的观察与分析, 错误的是

- A. 先用低倍镜再换高倍镜观察符合操作规范
- B. 可观察到箭头所指细胞的细胞核和细胞壁
- C. 在图像中可观察到处于分裂期前期的细胞
- D. 细胞不同结构成分与该染料结合能力不同
- 2. 为探究运动对海马脑区发育和学习记忆能力的影响,研究者将实验动物分为运动组和对照组,运动组每天进行适量的有氧运动(跑步/游泳)。数周后,研究人员发现运动组海马脑区发育水平比对照组提高了1.5倍,靠学习记忆找到特定目标的时间缩短了约40%。根据该研究结果可得出
  - A. 有氧运动不利于海马脑区的发育
  - B. 规律且适量的运动促进学习记忆
  - C. 有氧运动会减少神经元间的联系
  - D. 不运动利于海马脑区神经元兴奋

3. 筛选淀粉分解菌需使用以淀粉为唯一碳源的培养基。接种培养后,若细菌能分解淀粉,培养平板经稀碘液处理,会出现以菌落为中心的透明圈(如图),实验结果见下表。



菌种	菌落直径 C (mm)	透明圈直径: H(mm)	H/C
细菌 I	5.1	11.2	2.2
细菌II	8.1	13.0	1.6

有关本实验的叙述,错误的是

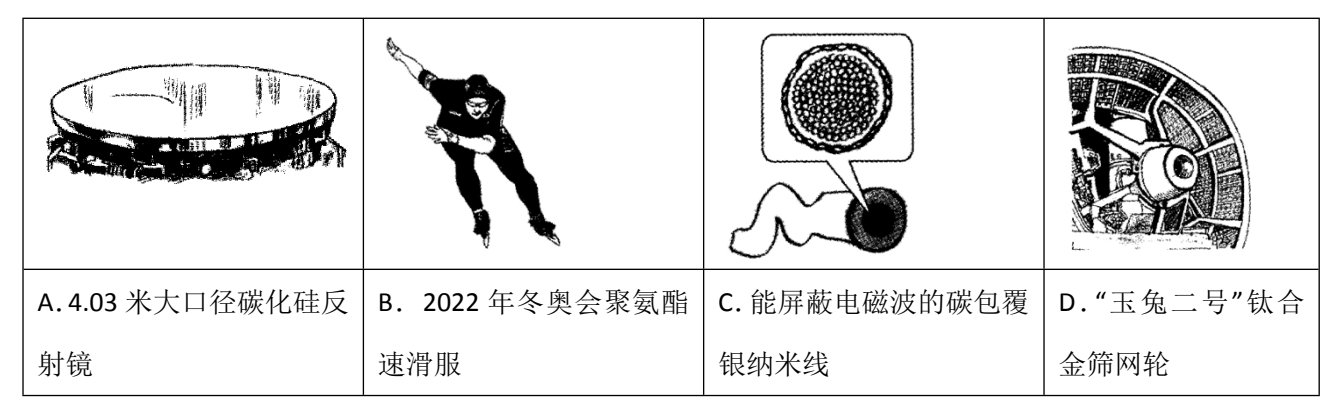
- A. 培养基除淀粉外还含有氮源等其他营养物质
- B. 筛选分解淀粉的细菌时, 菌液应稀释后涂布
- C. 以上两种细菌均不能将淀粉酶分泌至细胞外
- D. H/C值反映了两种细菌分解淀粉能力的差异
- 4. 甲、乙是严重危害某二倍体观赏植物的病害。研究者先分别获得抗甲、乙的转基因植株。 再将二者杂交后得到F<sub>1</sub>,结合单倍体育种技术,培育出同时抗甲、乙的植物新品种,以 下对相关操作及结果的叙述,错误的是
  - A. 将含有目的基因和标记基因的载体导入受体细胞
  - B. 通过接种病原体对转基因的植株进行抗病性鉴定
  - C. 调整培养基中植物激素比例获得F<sub>1</sub>花粉再生植株
  - D. 经花粉离体培养获得的若干再生植株均为二倍体
- 5. 为减少某自然水体中N、P含量过高给水生生态系统带来的不良影响,环保工作者拟利用 当地原有水生植物净化水体。选择其中3种植物分别置于试验池中,90天后测定它们吸收 N、P的量,结果见下表。

植物种类	单位水体面积N吸收量(g/m²)	单位水体面积P吸收量(g/m²)
浮水植物a	22.30	1.70
浮水植物b	8.51	0.72
沉水植物c	14.61	2.22

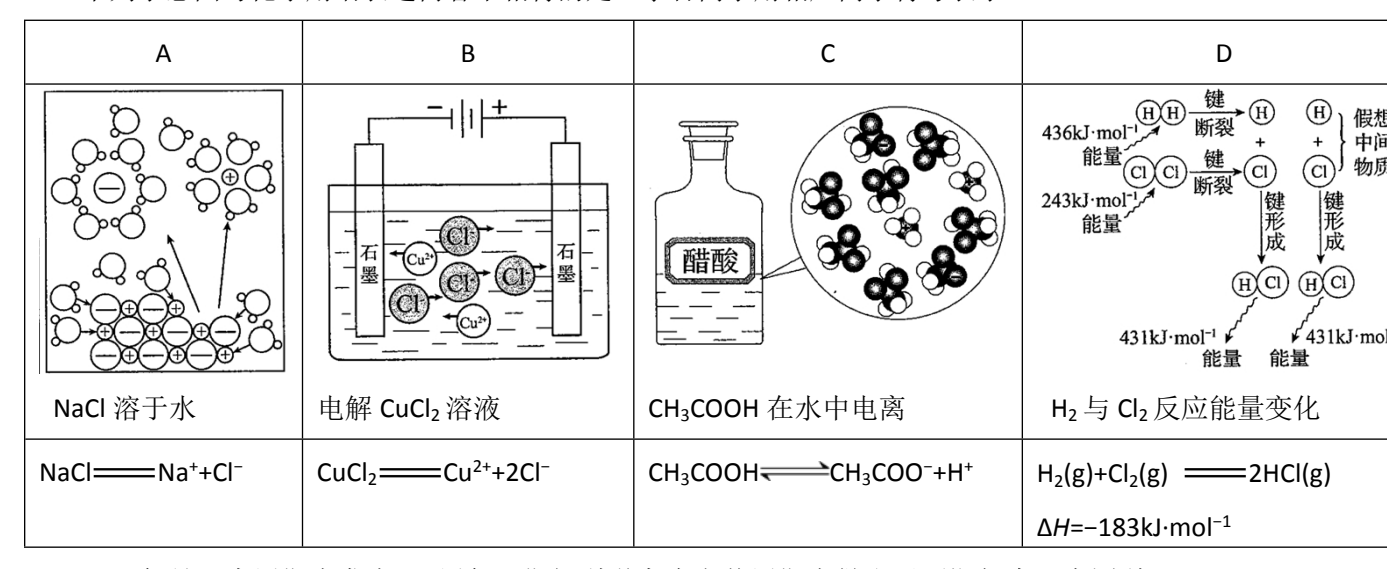
结合表中数据,为达到降低该自然水体中N、P的最佳效果,推断应投放的两种植物及对

### 该水体的生态影响是

- A. 植物a和b, 群落的水平结构将保持不变
- B. 植物a和b,导致该水体中的食物链缩短
- C. 植物a和c, 这两种植物种群密度会增加
- D. 植物a和c, 群落中能量流动方向将改变
- 6. 下列我国科研成果所涉及材料中,主要成分为同主族元素形成的无机非金属材料的是



7. 下列示意图与化学用语表述内容不相符的是(水合离子用相应离子符号表示)



- 8. 2019年是元素周期表发表150周年,期间科学家为完善周期表做出了不懈努力。中国科学院院士张青莲教授曾主持测定了铟(49In)等9种元素相对原子质量的新值,被采用为国际新标准。铟与铷(37Rb)同周期。下列说法不正确的是
  - A. In 是第五周期第IIIA 族元素
  - B. <sup>115</sup>49In 的中子数与电子数的差值为 17
  - C. 原子半径: In>Al
  - D. 碱性: In(OH)3>RbOH
- 9. 交联聚合物 P 的结构片段如图所示。下列说法不正确的是(图中 **~** 表示链延长)

- A. 聚合物 P 中有酯基,能水解
- B. 聚合物 P 的合成反应为缩聚反应
- C. 聚合物 P 的原料之一丙三醇可由油脂水解获得
- D. 邻苯二甲酸和乙二醇在聚合过程中也可形成类似聚合物 P 的交联结构
- 10. 下列除杂试剂选用正确且除杂过程不涉及氧化还原反应的是

	物质(括号内为杂质)	除杂试剂
Α	FeCl₂溶液(FeCl₃)	Fe粉
В	NaCl溶液(MgCl <sub>2</sub> )	NaOH溶液、稀HCl
С	Cl <sub>2</sub> (HCl)	H₂O、浓H₂SO₄
D	NO (NO <sub>2</sub> )	H <sub>2</sub> O、无水CaCl <sub>2</sub>

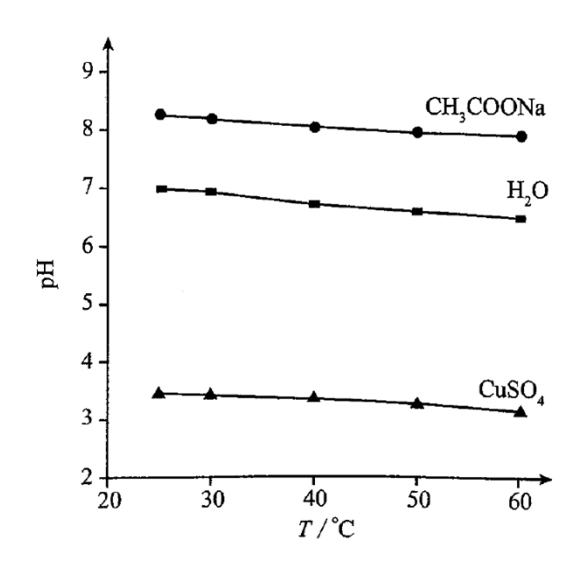
11. 探究草酸( $H_2C_2O_4$ )性质,进行如下实验。(已知: 室温下, $0.1\ mol\cdot L^{-1}\ H_2C_2O_4$ 的 pH=1.3)

实验	装置	试剂a	现象
1)	一草酸	Ca(OH)₂溶液(含酚酞)	溶液褪色,产生白色沉 淀
2		少量NaHCO <sub>3</sub> 溶液	产生气泡
3		酸性KMnO <sub>4</sub> 溶液	紫色溶液褪色
4	试剂a	C <sub>2</sub> H <sub>5</sub> OH和浓硫酸	加热后产生有香味物 质

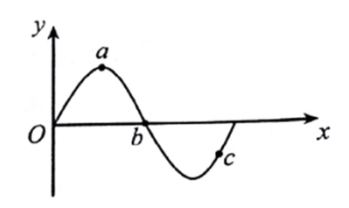
由上述实验所得草酸性质所对应的方程式不正确的是

- A. H<sub>2</sub>C<sub>2</sub>O<sub>4</sub>有酸性, Ca(OH)<sub>2</sub>+ H<sub>2</sub>C<sub>2</sub>O<sub>4</sub>==CaC<sub>2</sub>O<sub>4</sub>↓+2H<sub>2</sub>O
- B. 酸性: H<sub>2</sub>C<sub>2</sub>O<sub>4</sub>> H<sub>2</sub>CO<sub>3</sub>,NaHCO<sub>3</sub>+ H<sub>2</sub>C<sub>2</sub>O<sub>4</sub>===NaHC<sub>2</sub>O<sub>4</sub>+CO<sub>2</sub>↑+H<sub>2</sub>O
- C.  $H_2C_2O_4$  具有还原性, $2\,MnO_4^-+5\,C_2O_4^{2-}+16H^+$  ==== $2Mn^{2+}+10CO_2$ 个+ $8H_2O_4$
- D.  $H_2C_2O_4$ 可发生酯化反应, $HOOCCOOH+2C_2H_5OH$  <u>浓硫酸</u>  $C_2H_5OOCCOOC_2H_5+2H_2O$

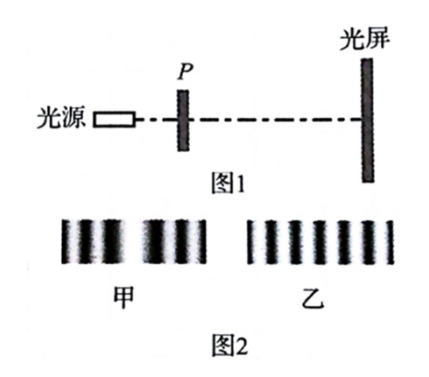
12. 实验测得0.5 mol·L⁻¹CH₃COONa溶液、0.5 mol·L⁻¹CuSO₄溶液以及H₂O的pH随温度变化的曲 线如图所示。下列说法正确的是



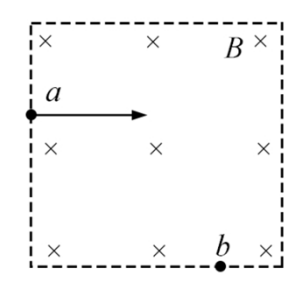
- A. 随温度升高,纯水中*c*(H<sup>+</sup>)>*c*(OH<sup>-</sup>)
- B. 随温度升高,CH₃COONa溶液的c(OH⁻)减小
- C. 随温度升高, $CuSO_4$ 溶液的pH变化是 $K_w$ 改变与水解平衡移动共同作用的结果
- D. 随温度升高,CH₃COONa溶液和CuSO₄溶液的pH均降低,是因为CH₃COO⁻、Cu²⁺水解 平衡移动方向不同
- 13. 一列简谐横波某时刻的波形如图所示,比较介质中的三个质点a、b、c,则



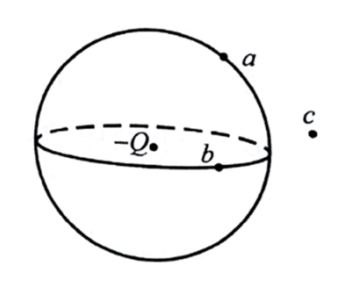
- A. 此刻a的加速度最小
- B. 此刻b的速度最小
- C. 若波沿x轴正方向传播,此刻b向y轴正方向运动
- D. 若波沿x轴负方向传播, a比c先回到平衡位置
- **14.** 利用图**1**所示的装置(示意图),观察光的干涉、衍射现象,在光屏上得到如图**2**中甲和乙两种图样。下列关于**P**处放置的光学元件说法正确的是



- A. 甲对应单缝, 乙对应双缝
- B. 甲对应双缝, 乙对应单缝
- C. 都是单缝,甲对应的缝宽较大
- D. 都是双缝, 甲对应的双缝间距较大
- 15. 下列说法正确的是
  - A. 温度标志着物体内大量分子热运动的剧烈程度
  - B. 内能是物体中所有分子热运动所具有的动能的总和
  - C. 气体压强仅与气体分子的平均动能有关
  - D. 气体膨胀对外做功且温度降低,分子的平均动能可能不变
- 16. 如图所示,正方形区域内存在垂直纸面的匀强磁场。一带电粒子垂直磁场边界从a点射入,从b点射出。下列说法正确的是



- A. 粒子带正电
- B. 粒子在b点速率大于在a点速率
- C. 若仅减小磁感应强度,则粒子可能从 b 点右侧射出
- D. 若仅减小入射速率,则粒子在磁场中运动时间变短
- 17. 如图所示,a、b两点位于以负点电荷-Q (Q>0) 为球心的球面上,c点在球面外,则



- A. a点场强的大小比b点大
- B. b点场强的大小比c点小
- C. a点电势比b点高
- D. b点电势比c点低
- 18. 2019年5月17日,我国成功发射第45颗北斗导航卫星,该卫星属于地球静止轨道卫星 (同步卫星)。该卫星
  - A. 入轨后可以位于北京正上方
  - B. 入轨后的速度大于第一宇宙速度
  - C. 发射速度大于第二宇宙速度
  - D. 若发射到近地圆轨道所需能量较少
- 19. 光电管是一种利用光照射产生电流的装置,当入射光照在管中金属板上时,可能形成光电流。表中给出了6次实验的结果。

<i>b</i> 🗆	Vla	入射光子的能	+a 조+ 1/ 3g	火中淬土 小 4	逸出光电子的最
组	次	量/eV	相对光强	光电流大小/mA	大动能/eV
第	1	4.0	弱	29	0.9
_	2	4.0	中	43	0.9
组	3	4.0	强	60	0.9
第	4	6.0	弱	27	2.9
=	5	6.0	中	40	2.9
组	6	6.0	强	55	2.9

由表中数据得出的论断中不正确的是

- A. 两组实验采用了不同频率的入射光
- B. 两组实验所用的金属板材质不同
- C. 若入射光子的能量为5.0 eV, 逸出光电子的最大动能为1.9 eV
- D. 若入射光子的能量为5.0 eV, 相对光强越强, 光电流越大

20. 国际单位制(缩写SI)定义了米(m)、秒(s)等7个基本单位,其他单位均可由物理 关系导出。例如,由m和s可以导出速度单位m·s<sup>-1</sup>。历史上,曾用"米原器"定义米,用 平均太阳日定义秒。但是,以实物或其运动来定义基本单位会受到环境和测量方式等因 素的影响,而采用物理常量来定义则可避免这种困扰。1967年用铯-133原子基态的两个 超精细能级间跃迁辐射的频率Δν=9 192 631 770 Hz定义s;1983年用真空中的光速*c*=299 792 458 m·s<sup>-1</sup>定义m。2018年第26届国际计量大会决定,7个基本单位全部用基本物理 常量来定义(对应关系如图,例如,s对应Δν,m对应*c*)。新SI自2019年5月20日(国际 计量日)正式实施,这将对科学和技术发展产生深远影响。下列选项不正确的是



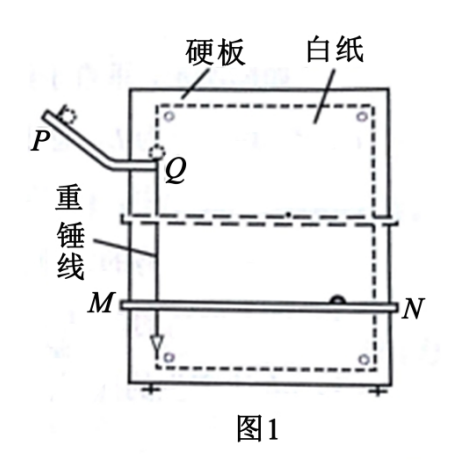
- A. 7个基本单位全部用物理常量定义,保证了基本单位的稳定性
- B. 用真空中的光速c ( $m \cdot s^{-1}$ ) 定义m,因为长度l与速度v存在l=vt,而s已定义
- C. 用基本电荷e (C) 定义安培(A),因为电荷量与电流l存在l=q/t,而s已定义
- D. 因为普朗克常量 $h(J \cdot s)$ 的单位中没有kg,所以无法用它来定义质量单位

## 第二部分(非选择题 共180分)

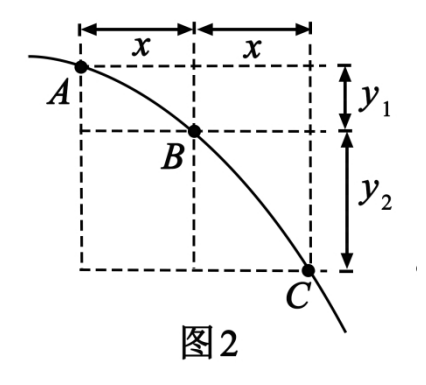
本部分共11小题,共180分。

### 21. (18分)

用如图1所示装置研究平地运动。将白纸和复写纸对齐重叠并固定在竖直的硬板上。 钢球沿斜槽轨道PQ滑下后从Q点飞出,落在水平挡板MN上。由于挡板靠近硬板一侧较低,钢球落在挡板上时,钢球侧面会在白纸上挤压出一个痕迹点。移动挡板,重新释放钢球,如此重复,白纸上将留下一系列痕迹点。



- (1) 下列实验条件必须满足的有。
  - A. 斜槽轨道光滑
  - B. 斜槽轨道末段水平
  - C. 挡板高度等间距变化
  - D. 每次从斜槽上相同的位置无初速度释放钢球
- (2) 为定量研究,建立以水平方向为x轴、竖直方向为y轴的坐标系。
  - a. 取平抛运动的起始点为坐标原点,将钢球静置于Q点,钢球的\_\_\_\_\_(选填"最上端"、"最下端"或者"球心")对应白纸上的位置即为原点: 在确定y轴时\_\_\_\_ \_\_(选填"需要"或者"不需要") y轴与重锤线平行。



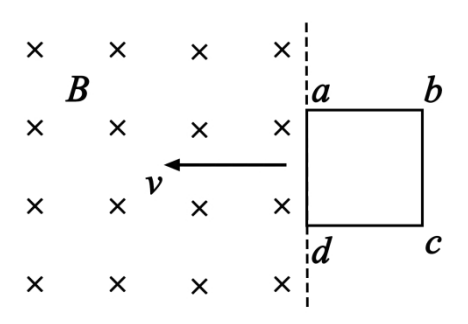
(3) 为了得到平抛物体的运动轨迹,同学们还提出了以下三种方案,其中可行的是

- A. 从细管水平喷出稳定的细水柱,拍摄照片,即可得到平抛运动轨迹
- B. 用频闪照相在同一底片上记录平抛小球在不同时刻的位置,平滑连接各位置,即可得到平抛运动轨迹
- C. 将铅笔垂直于竖直的白纸板放置,笔尖紧靠白纸板,铅笔以一定初速度水平抛出,将会在白纸上留下笔尖的平抛运动轨迹
- (4) 伽利略曾研究过平抛运动,他推断:从同一炮台水平发射的炮弹,如果不受空气阻力,不论它们能射多远,在空中飞行的时间都一样。这实际上揭示了平抛物体\_\_\_
  - A. 在水平方向上做匀速直线运动
  - B. 在竖直方向上做自由落体运动
  - C. 在下落过程中机械能守恒
- (5) 牛顿设想,把物体从高山上水平抛出,速度一次比一次大,落地点就一次比一次远,如果速度足够大,物体就不再落回地面,它将绕地球运动,成为人造地球卫星。

同样是受地球引力,随着抛出速度增大,物体会从做平抛运动逐渐变为做圆 周运动,请分析原因。

### 22. (16分)

如图所示,垂直于纸面的匀强磁场磁感应强度为B。纸面内有一正方形均匀金属线框abcd,其边长为L,总电阻为R,ad边与磁场边界平行。从ad边刚进入磁场直至bc边刚要进入的过程中,线框在向左的拉力作用下以速度v匀速运动,求:

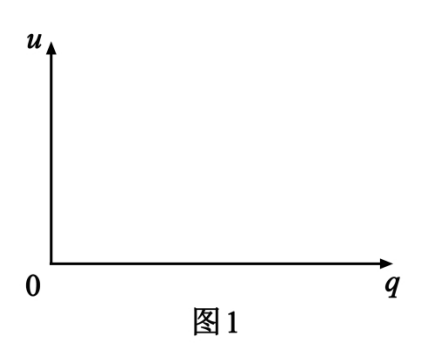


- (1) 感应电动势的大小E:
- (2) 拉力做功的功率P;
- (3) ab边产生的焦耳热Q。

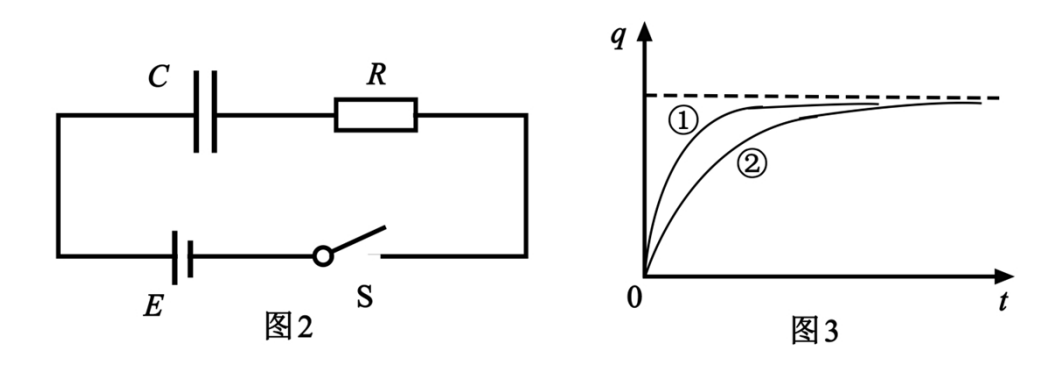
### 23. (18分)

电容器作为储能器件,在生产生活中有广泛的应用。对给定电容值为C的电容器充电,无论采用何种充电方式,其两极间的电势差u随电荷量g的变化图像都相同。

(1)请在图1中画出上述u-q图像。类比直线运动中由v-t图像求位移的方法,求两极间电压为U时电容器所储存的电能 $E_p$ 。



- (2) 在如图2所示的充电电路中,R表示电阻,E表示电源(忽略内阻)。通过改变电路中元件的参数对同一电容器进行两次充电,对应的q—t曲线如图3中①②所示。
  - a. ①②两条曲线不同是\_\_\_\_\_(选填E或R)的改变造成的;
  - b. 电容器有时需要快速充电,有时需要均匀充电。依据a中的结论,说明实现这两种充电方式的途径。

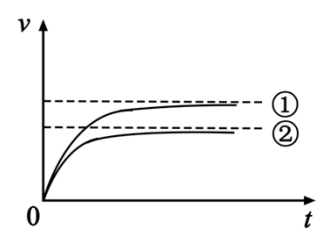


(3) 设想使用理想的"恒流源"替换(2) 中电源对电容器充电,可实现电容器电荷量随时间均匀增加。请思考使用"恒流源"和(2)中电源对电容器的充电过程,填写下表(选填"增大"、"减小"或"不变")。

	"恒流源"	(2) 中电源
电源两端电压		
通过电源的电流		

雨滴落到地面的速度通常仅为几米每秒,这与雨滴下落过程中受到空气阻力有关。 雨滴间无相互作用且雨滴质量不变,重力加速度为**q**。

- (1) 质量为m的雨滴由静止开始,下落高度h时速度为u,求这一过程中克服空气阻力 所做的功w。
- (2)将雨滴看作半径为r的球体,设其竖直落向地面的过程中所受空气阻力 $f=kr^2v^2$ ,其中v是雨滴的速度,k是比例系数。



- a. 设雨滴的密度为 $\rho$ ,推导雨滴下落趋近的最大速度 $\nu_m$ 与半径r的关系式;
- b. 示意图中画出了半径为 $r_1$ 、 $r_2$ ( $r_1$ > $r_2$ )的雨滴在空气中无初速下落的v-t图线,其中\_\_\_\_\_对应半径为 $r_1$ 的雨滴(选填①、②);若不计空气阻力,请在图中画出雨滴无初速下落的v-t图线。
- (3) 由于大量气体分子在各方向运动的几率相等,其对静止雨滴的作用力为零。将雨滴简化为垂直于运动方向面积为S的圆盘,证明:圆盘以速度v下落时受到的空气阻力 $f \sim v^2$ (提示:设单位体积内空气分子数为n,空气分子质量为 $m_0$ )。

### 25. (16分)

抗癌药托瑞米芬的前体K的合成路线如下。

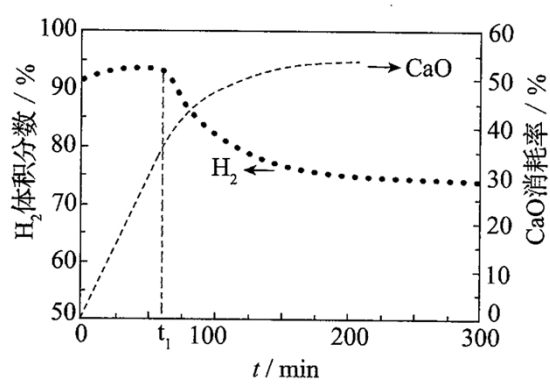
己知:

$$i . \qquad \stackrel{O}{\longrightarrow} \stackrel{R'}{\longrightarrow} \stackrel{AlCl_3}{\longrightarrow} R' \qquad \stackrel{OH}{\longrightarrow} \stackrel{R''-Cl}{\longleftarrow} R' \qquad \stackrel{OR''}{\longrightarrow}$$

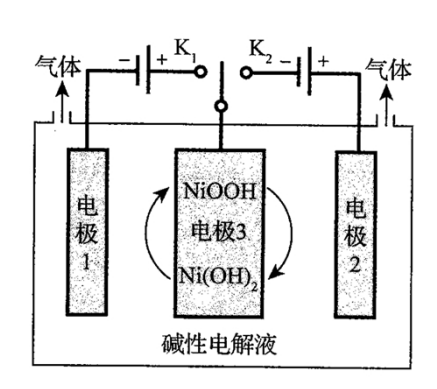
ii. 有机物结构可用键线式表示,如(CH<sub>3</sub>)<sub>2</sub>NCH<sub>2</sub>CH<sub>3</sub>的键线式为 $^{'}$ ~

	(1)有机物A能与Na <sub>2</sub> CO <sub>3</sub> 溶液反应产生CO <sub>2</sub> ,其钠盐可用于食品防腐。有机物B能与Na <sub>2</sub> CO <sub>3</sub>
	溶液反应,但不产生CO <sub>2</sub> ;B加氢可得环己醇A和B反应生成C的化学方程式是
	,反应类型是。
	(2) D中含有的官能团:。
	(3) E的结构简式为。
	(4) F是一种天然香料,经碱性水解、酸化,得G和J。J经还原可转化为G。J的结构简式
	为。
	(5) M是J的同分异构体,符合下列条件的M的结构简式是 。
	①包含2个六元环
	②M可水解,与NaOH溶液共热时,1 mol M最多消耗2 mol NaOH
	(6) 推测E和G反应得到K的过程中,反应物LiAlH <sub>4</sub> 和H <sub>2</sub> O的作用是
	(7) 由K合成托瑞米芬的过程:
	K → H <sub>2</sub> O N SOCl <sub>2</sub> 托瑞米芬 C <sub>26</sub> H <sub>28</sub> NOCl
	托瑞米芬具有反式结构,其结构简式是。
26.	(12分)
	化学小组用如下方法测定经处理后的废水中苯酚的含量(废水中不含干扰测定的物
	质)。
	I. 用已准确称量的KBrO₃固体配制一定体积的a mol·L-1 KBrO₃标准溶液;
	$II$ . 取 $v_1$ mL上述溶液,加入过量 $KBr$ ,加 $H_2SO_4$ 酸化,溶液颜色呈棕黄色;
	Ⅲ. 向Ⅱ所得溶液中加入v₂ mL废水;
	Ⅳ. 向Ⅲ中加入过量KI;
	V. 用b mol·L <sup>-1</sup> Na <sub>2</sub> S <sub>2</sub> O <sub>3</sub> 标准溶液滴定 $IV$ 中溶液至浅黄色时,滴加2滴淀粉溶液,继续滴
	定至终点,共消耗Na <sub>2</sub> S <sub>2</sub> O <sub>3</sub> 溶液v <sub>3</sub> mL。
	已知: I <sub>2</sub> +2Na <sub>2</sub> S <sub>2</sub> O <sub>3</sub> =2NaI+ Na <sub>2</sub> S <sub>4</sub> O <sub>6</sub>
	$Na_2S_2O_3$ 和 $Na_2S_4O_6$ 溶液颜色均为无色
	(1) [中配制溶液用到的玻璃仪器有烧杯、玻璃棒、胶头滴管和。
	(2) II 中发生反应的离子方程式是。
	(3) III中发生反应的化学方程式是。
	(4) IV中加KI前,溶液颜色须为黄色,原因是。

(5) KI与KBrO₃物质的量关系为n(KI)≥6n(KBrO₃)时,KI一定过量,理由是。 (6) V中滴定至终点的现象是\_\_\_\_\_ (8)由于Br<sub>2</sub>具有 性质,II~IV中反应须在密闭容器中进行,否则会造成测 定结果偏高。 27. (14分) 氢能源是最具应用前景的能源之一, 高纯氢的制备是目前的研究热点。 (1) 甲烷水蒸气催化重整是制高纯氢的方法之一。 ①反应器中初始反应的生成物为  $H_2$ 和  $CO_2$ ,其物质的量之比为 4:1,甲烷和水蒸 气反应的方程式是\_\_\_\_。 ②已知反应器中还存在如下反应: i.CH<sub>4</sub>(g)+H<sub>2</sub>O(g)=CO(g)+3H<sub>2</sub>(g)  $\Delta H_1$ ii.CO(g)+H<sub>2</sub>O(g)=CO<sub>2</sub>(g)+H<sub>2</sub>(g)  $\Delta H_2$ iii.CH<sub>4</sub>(g)=C(s)+2H<sub>2</sub>(g)  $\Delta H_3$ iii 为积炭反应,利用  $\Delta H_1$  和  $\Delta H_2$  计算  $\Delta H_3$  时,还需要利用 反应的  $\Delta H$ 。 ③反应物投料比采用  $n(H_2O): n(CH_4)=4:1$ ,大于初始反应的化学计量数之比, 目的是\_\_\_\_\_(选填字母序号)。 a.促进 CH₄转化 b.促进 CO 转化为 CO<sub>2</sub> c.减少积炭生成 ④用 CaO 可以去除 CO<sub>2</sub>。H<sub>2</sub>体积分数和 CaO 消耗率随时间变化关系如下图所示。 从  $t_1$  时开始, $H_2$  体积分数显著降低,单位时间 CaO 消耗率\_\_\_\_\_(填"升高""降 低"或"不变")。此时 CaO 消耗率约为 35%,但已失效,结合化学方程式解释原因: 100 90



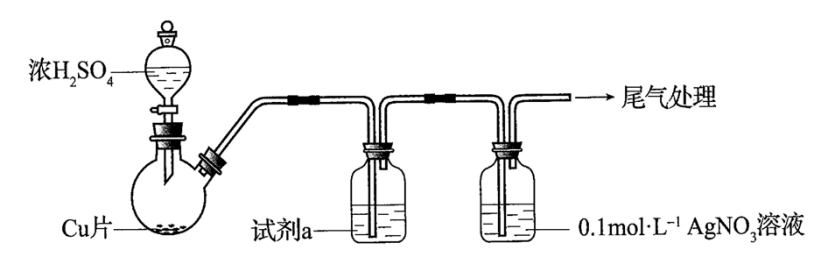
(2) 可利用太阳能光伏电池电解水制高纯氢,工作示意图如下。通过控制开关连接  $K_1$  或  $K_2$ ,可交替得到  $H_2$  和  $O_2$ 。



(1)制	H <sub>2</sub> 时,	连接	
(エンリカコ	117 11 1 1	(上)女	0

产生 H<sub>2</sub> 的电极反应式是\_\_\_\_。

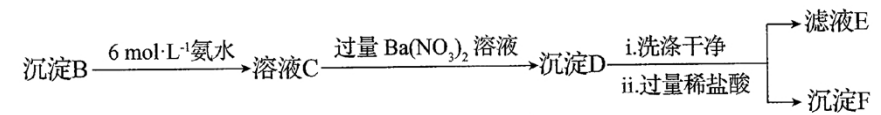
- ②改变开关连接方式,可得 O<sub>2</sub>。
- ③结合①和②中电极3的电极反应式,说明电极3的作用:
- 28. (16 分) 化学小组实验探究 SO<sub>2</sub> 与 AgNO<sub>3</sub> 溶液的反应。
  - (1) 实验一:用如下装置(夹持、加热仪器略)制备  $SO_2$ ,将足量  $SO_2$ 通入  $AgNO_3$  溶液中,迅速反应,得到无色溶液 A 和白色沉淀 B。



①浓 H<sub>2</sub>SO<sub>4</sub>与 Cu 反应的化学方程式是\_\_\_\_\_\_

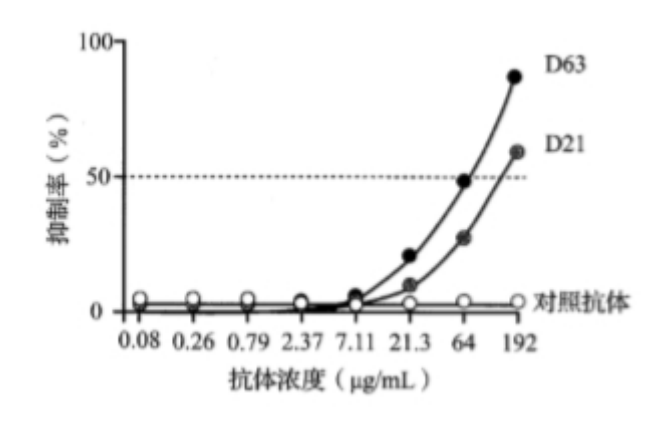
- ②试剂 a 是 。
- (2) 对体系中有关物质性质分析得出: 沉淀 B 可能为  $Ag_2SO_3$ 、 $Ag_2SO_4$ 或二者混合物。 (资料:  $Ag_2SO_4$ 微溶于水;  $Ag_2SO_3$ 难溶于水)

实验二:验证 B 的成分



- ①写出Ag<sub>2</sub>SO<sub>3</sub>溶于氨水的离子方程式: \_\_\_\_\_。
- ②加入盐酸后沉淀 D 大部分溶解,剩余少量沉淀 F。推断 D 中主要是 BaSO<sub>3</sub>,进而推断 B 中含有  $Ag_2SO_3$ 。向滤液 E 中加入一种试剂,可进一步证实 B 中含有  $Ag_2SO_3$ 。

	所用试剂及现象是。
	(3) 根据沉淀 $F$ 的存在,推测 $SO_4^{2-}$ 的产生有两个途径:
	途径 1:实验一中,SO <sub>2</sub> 在 AgNO <sub>3</sub> 溶液中被氧化生成 Ag <sub>2</sub> SO <sub>4</sub> ,随沉淀 B 进入 D。
	途径 2:实验二中, $SO_3^{2-}$ 被氧化为 $SO_4^{2-}$ 进入 D。
	实验三: 探究 SO <sup>2-</sup> 的产生途径
	①向溶液 A 中滴入过量盐酸,产生白色沉淀,证明溶液中含有: 取上层
	清液继续滴加 BaCl <sub>2</sub> 溶液,未出现白色沉淀,可判断 B 中不含 Ag <sub>2</sub> SO <sub>4</sub> 。做出判断的
	理由:。
	②实验三的结论:。
	(4) 实验一中 SO <sub>2</sub> 与 AgNO <sub>3</sub> 溶液反应的离子方程式是。
	(5)根据物质性质分析,SO <sub>2</sub> 与 AgNO <sub>3</sub> 溶液应该可以发生氧化还原反应。将实验一所
	得混合物放置一段时间,有 Ag 和 SO <sub>4</sub> <sup>2-</sup> 生成。
	(6) 根据上述实验所得结论:。
29.	(17分)
	流行性感冒(流感)由流感病毒引起,传播速度快、波及范围广,严重时可致人
	死亡。
	(1)流感病毒必须在内增殖,当侵染人呼吸道上皮细胞时,会经过、
	穿入、脱壳、生物合成和成熟释放等几个阶段。
	(2)流感病毒的抗原刺激人体免疫系统,使B细胞增殖分化为细胞,后者能产
	生特异性抗体。
	(3) HA和NA是流感病毒表面的两种糖蛋白,甲型流感病毒的HA、NA氨基酸序列的变
	异频率非常高,导致每年流行的病毒毒株可能不同。每年要根据流行预测进行预
	防接种的免疫学原理是。
	(4) 研究者通过实验观察NA抗体对病毒侵染细胞的抑制作用。主要实验材料包括: 感染
	流感病毒后63天、21天的两位康复者的NA抗体(分别为D63、D21)、对照抗体、
	流感病毒和易感细胞。
	①实验的主要步骤依次是:培养易感细胞、(选择并排序)等。

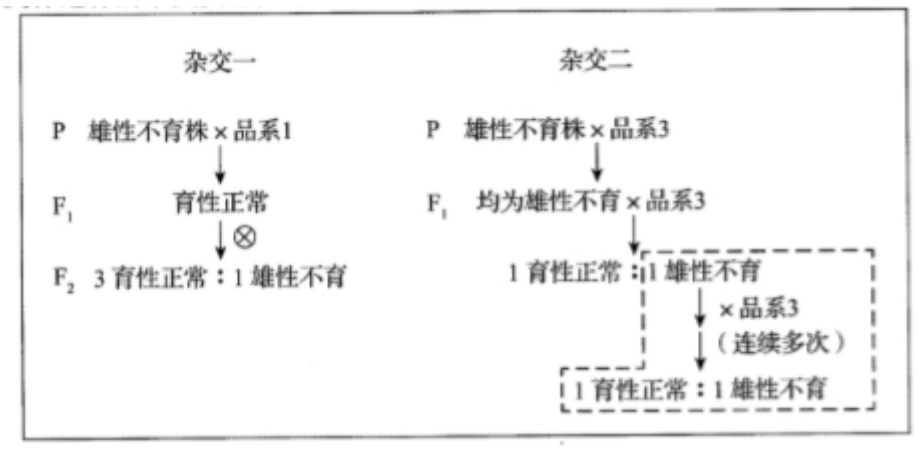


- a. 将抗体分别与流感病毒混合
- b. 将各混合物加入同一细胞培养瓶
- c. 将各混合物分别加入不同细胞培养瓶
- d. 检测NA抗体与易感细胞的结合率
- e. 检测培养物中病毒的增殖量
- f. 检测细胞对病毒的损伤程度
- ②图中实验结果表明,这两位康复者均产生了抗NA的抗体,其中对流感病毒抑制效果较好的抗体是\_\_\_\_。选用的对照抗体应不能与\_\_\_\_\_\_特异性结合。
- ③依据本实验结果提出疫苗研制的思路。
- (5) 若你已被确诊为流感患者,请例举具体的应对措施。

#### 30. (17分)

油菜是我国重要的油料作物,培育高产优质新品种意义重大。油菜的杂种一代会出现杂种优势(产量等性状优于双亲),但这种优势无法在自交后代中保持,杂种优势的利用可显著提高油菜籽的产量。

(1)油菜具有两性花,去雄是杂交的关键步骤,但人工去雄耗时费力,在生产上不具备可操作性。我国学者发现了油菜雄性不育突变株(雄蕊异常,肉眼可辨),利用该突变株进行的杂交实验如下:



① 由杂交一结果推测,育性正常与雄性不育性状受 对等位基因控制。 在杂交二中,雄性不育为 性性状。 ②杂交一与杂交二的F<sub>1</sub>表现型不同的原因是育性性状由位于同源染色体相同位置 上的3个基因(A<sub>1</sub>、A<sub>2</sub>、A<sub>3</sub>)决定。品系1、雄性不育株、品系3的基因型分别为  $A_1A_1$ 、 $A_2A_2$ 、 $A_3A_3$ 。根据杂交一、二的结果,判断 $A_1$ 、 $A_2$ 、 $A_3$ 之间的显隐性关系 是\_\_\_\_。 (2) 利用上述基因间的关系,可大量制备兼具品系1、3优良性状的油菜杂交种子 (YF<sub>1</sub>),供农业生产使用,主要过程如下: ①经过图中虚线框内的杂交后,可将品系3的优良性状与\_\_\_\_\_性状整合在同 一植株上,该植株所结种子的基因型及比例为。 ②将上述种子种成母本行,将基因型为\_\_\_\_\_的品系种成父本行,用于制备YF<sub>1</sub>。 ③为制备YF<sub>1</sub>,油菜刚开花时应拔除母本行中具有某一育性性状的植株。否则,得 到的种子给农户种植后,会导致油菜籽减产,其原因是。 (3) 上述辨别并拔除特定植株的操作只能在油菜刚开花时(散粉前)完成,供操作的 时间短,还有因辨别失误而漏拔的可能。有人设想:"利用某一直观的相对性状在 油菜开花前推断植株的育性",请用控制该性状的等位基因(E、e)及其与A基因 在染色体上的位置关系展示这一设想。

### 31. (16分)

光合作用是地球上最重要的化学反应,发生在高等植物、激类和光合细菌中。

 个);内部因素包括\_\_\_\_\_(写出两个)。
(2)R酶由8个大亚基蛋白(L)和8个小亚基蛋白(S)组成。高等植物细胞中L由叶绿

合成后进入叶绿体,在叶绿体的\_\_\_\_\_\_中与L组装成有功能的酶。

体基因编码并在叶绿体中合成,S由细胞核基因编码并在中由核糖体

- (3)研究发现,原核生物蓝藻(蓝细菌)R酶的活性高于高等植物,有人设想通过基因工程技术将蓝藻R酶的S、L基因转入高等植物,以提高后者的光合作用效率。研究人员将蓝藻S、L基因转入某高等植物(甲)的叶绿体DNA中,同时去除甲的L基因。转基因植株能够存活并生长。检测结果表明,转基因植株中的R酶活性高于未转基因的正常植株。
  - ①由上述实验能否得出"转基因植株中有活性的R酶是由蓝藻的S、L组装而成"的推测?请说明理由。
  - ②基于上述实验,下列叙述中能够体现生物统一性的选项包括。
    - a. 蓝藻与甲都以DNA作为遗传物质
    - b. 蓝藻与甲都以R酶催化CO<sub>2</sub>的固定
    - c. 蓝藻R酶大亚基蛋白可在甲的叶绿体中合成
    - d. 在蓝藻与甲的叶肉细胞中R酶组装的位置不同

## (考生务必将答案答在答题卡上,在试卷上作答无效)

2019年普通高等学校招生全国统一考试

# 理科综合能力测试(北京卷)参考答案

第一部分共20小题,每小题6分,共120分

1. B 2. B 3. C 4. D 5. C

6. A 7. B 8. D 9. D 10. B 11. C 12. C

13. C 14. A 15. A 16. C 17. D 18. D 19. B 20. D

第二部分共11小题,共180分

- 21. (18分)
  - (1) BD
  - (2) a. 球心 需要

b. 大于 
$$x\sqrt{\frac{g}{y_2-y_1}}$$

- (3) AB
- (4) B
- (5) 物体初速度较小时,运动范围很小,引力可以看作恒力——重力,做平抛运动;随着物体初速度增大,运动范围变大,引力不能再看作恒力; 当物体初速度达到第一宇宙速度时,做圆周运动而成为地球卫星。

### 22. (16分)

- (1) 由法拉第电磁感应定律可得, 感应电动势E=BLv
- (2) 线圈中的感应电流  $I = \frac{E}{R}$

拉力大小等于安培力大小F=BIL

拉力的功率 
$$P = Fv = \frac{B^2 L^2 v^2}{R}$$

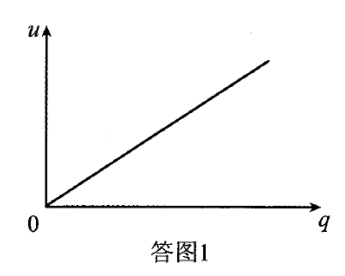
(3) 线圈
$$ab$$
边电阻 $R_{ab} = \frac{R}{4}$ 

时间 
$$t = \frac{L}{v}$$

$$ab$$
边产生的焦耳热  $Q = I^2 R_{ab} t = \frac{B^2 L^3 v}{4R}$ 

### 23. (18分)

(1) u-q图线如答图1;



电压为U时,电容器带电Q,图线和横轴围成的面积为所储存的电能 $E_D$ 

$$E_{\rm p} = \frac{1}{2}QU, \quad \mathbb{Z}Q = CU$$

故 
$$E_{\rm p} = \frac{1}{2}CU^2$$

(2) a. R

b. 减小电阻R, 可以实现对电容器更快速充电; 增大电阻R, 可以实现更均匀充电。

(3)

"恒流源"	(2)中电源
1旦/元/塚*	(2) 中电源

电源两端电压	增大	不变
通过电源的电流	不变	减小

### 24. (20分)

(1) 根据动能定理  $mgh - W = \frac{1}{2}mu^2$ 

可得
$$W = mgh - \frac{1}{2}mu^2$$

(2) a. 根据牛顿第二定律 mg - f = ma

得 
$$a = g - \frac{kr^2v^2}{m}$$

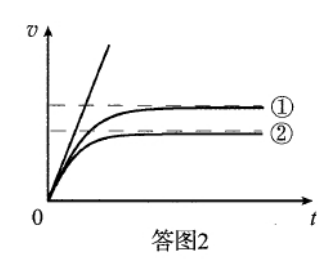
当加速度为零时,雨滴趋近于最大速度v<sub>m</sub>

雨滴质量 
$$m = \frac{4}{3}\pi r^3 \rho$$

由 $\alpha$ =0, 可得, 雨滴最大速度 $v_{\rm m} = \sqrt{\frac{4\pi\rho g}{3k}}r$ 

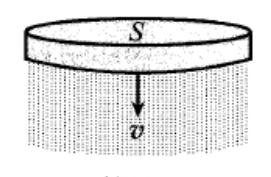
b. ①

如答图2



(3)根据题设条件:大量气体分子在各方向运动的几率相等,其对静止雨滴的作用力为零。以下只考虑雨滴下落的定向运动。

简化的圆盘模型如答图3。设空气分子与圆盘碰撞前后相对速度大小不变。在 $\Delta t$ 时间内,与圆盘碰撞的空气分子质量为 $\Delta m = Sv\Delta tnm_0$ 



答图3

以F表示圆盘对气体分子的作用力,根据动量定理,

有 FΔt ∝ Δm×v

得
$$F \propto nm_0Sv^2$$

由牛顿第三定律, 可知圆盘所受空气阻力

$$f \propto v^2$$

采用不同的碰撞模型,也可得到相同结论。

### 25. (16分)

(1) 
$$COOH + OH \frac{\%H_2SO_4, H_3BO_3}{\Delta} COOH + H_2OO$$

取代反应 (或酯化反应)

(2) 羟基、羰基

(6) 还原(加成)

### 26. (12分)

- (1) 容量瓶
- (2)  $BrO_{3}^{-} + 5Br^{-} + 6H^{+} = 3Br_{2} + 3H_{2}O$

$$(3) \qquad \begin{array}{c} OH \\ +3Br_2 \end{array} \longrightarrow \begin{array}{c} OH \\ Br \\ Br \end{array} + 3HBr$$

- (4) Br<sub>2</sub>过量,保证苯酚完全反应
- (5) 反应物用量存在关系:  $KBrO_3\sim 3Br_2\sim 6KI$ ,若无苯酚时,消耗 KI 物质的量是  $KBrO_3$  物质的量的 6 倍,因有苯酚消耗  $Br_2$ ,所以当 n (KI)  $\geq 6n$  ( $KBrO_3$ ) 时,KI 一定过量
- (6) 溶液蓝色恰好消失

(7) 
$$\frac{(6a v_1 - bv_3) \times 94}{6 v_2}$$

(8) 易挥发

### 27. (14分)

- (1) ①CH<sub>4</sub>+2H<sub>2</sub>O <u>催化剂</u> 4H<sub>2</sub>+CO<sub>2</sub> ②C(s)+2H<sub>2</sub>O(g)= CO<sub>2</sub>(g)+2H<sub>2</sub>(g)或 C(s)+ CO<sub>2</sub>(g)=2CO(g)
- ③a b c ④降低 CaO+ CO<sub>2</sub>= CaCO<sub>3</sub>,CaCO<sub>3</sub> 覆盖在 CaO 表面,减少了 CO<sub>2</sub>与 CaO 的接触面积
- (2)  $(1)K_1$   $2H_2O+2e^-=H_2\uparrow +2OH^-$
- ③制  $H_2$ 时,电极 3 发生反应:  $Ni(OH)_2+OH^--e^-=NiOOH+H_2O$ 。制  $O_2$ 时,上述电极反应逆向进行,使电极 3 得以循环使用

### 28. (16分)

- (1) ①Cu+ 2H<sub>2</sub>SO<sub>4</sub>(浓) ——CuSO<sub>4</sub>+SO<sub>2</sub>↑+2H<sub>2</sub>O ②饱和 NaHSO<sub>3</sub> 溶液
- (2)  $(1)Ag_2SO_3+4NH_3\cdot H_2O=2Ag(NH_3)_2^+ + SO_3^{2-} + 4H_2O$
- ②H<sub>2</sub>O<sub>2</sub>溶液,产生白色沉淀
- (3) ①Ag<sup>+</sup> Ag<sub>2</sub>SO<sub>4</sub>溶解度大于 BaSO<sub>4</sub>,没有 BaSO<sub>4</sub>沉淀时,必定没有 Ag<sub>2</sub>SO<sub>4</sub>
- ②途径1不产生SO4-,途径2产生SO4-
- (4)  $2Ag^{+}+SO_{2}+H_{2}O=Ag_{2}SO_{3}\downarrow +2H^{+}$
- (6) 实验条件下:
- $SO_2$ 与  $AgNO_3$  溶液生成  $Ag_2SO_3$  的速率大于生成 Ag 和  $SO_4^{2-}$  的速率 碱性溶液中  $SO_3^{2-}$  更 易被氧化为  $SO_4^{2-}$

### 29. (17分)

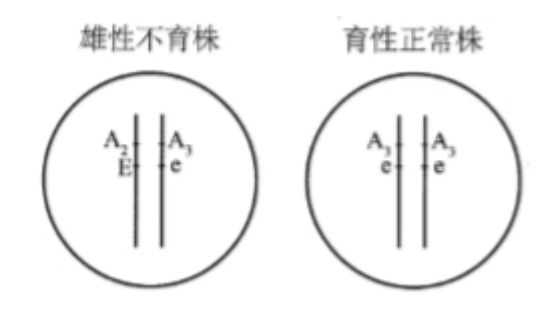
- (1) 活细胞 吸附
- (2) 浆/效应 B
- (3) 当 HA、NA 出现变异的流感病毒入侵机体时,已有的特异性免疫功能难以发挥有效的保护作用,故需每年接种疫苗。
- (4) ①a、c、e
  - ②**D63** 流感病毒
  - ③可选用 NA 制备流感疫苗。

- (5)包括遵医嘱治疗和避免病毒传播两个方面。(合理即可)
- 30. (17分)
  - (1) ①一 显

②A<sub>1</sub>对 A<sub>2</sub>为显性; A<sub>2</sub>对 A<sub>3</sub>为显性

- (2) ①雄性不育 A<sub>2</sub>A<sub>3</sub>:A<sub>3</sub>A<sub>3</sub>=1:1
  - ②  $A_1 A_1$
  - ③所得种子中混有  $A_3A_3$  自交产生的种子、 $A_2A_3$  与  $A_3A_3$  杂交所产生的种子,这些种子在生产上无杂种优势且部分雄性不育

(3)



- 31. (16分)
  - (1) 光能

温度、CO<sub>2</sub>浓度

R酶活性、R酶含量、C<sub>5</sub>含量、pH(其中两个)

- (2)细胞质 基质
- (3)①不能,转入蓝藻 S、L 基因的同时没有去除甲的 S 基因,无法排除转基因植株 R 酶中的 S 是甲的 S 基因的表达产物的可能性。

②a、b、c